

## CONDUTIVIDADE TÉRMICA DOS DIFERENTES LITOTIPOS VULCÂNICOS DA BACIA DO PARANÁ

M.I.B. RAPOSO

Instituto Astronômico e Geofísico - USP  
C.P. 30627, 01051 - São Paulo, SP

Y.R. MARANGONI

Estação Sismológica  
Departamento de Geociências - UnB  
70910 - Brasília, DF

The thermal conductivity of different volcanic lithotypes from Paraná Basin was measured by the needle probe in semi-infinite space and was related to chemical and petrographic parameters. The basic lithotype ( $\text{SiO}_2 < 55\%$ ) shows conductivity varying from 1.9 to 2.5 W/mK, the acid rock samples ( $\text{SiO}_2 > 63\%$ ) show thermal conductivities in the range of 1.6 to 3.0 W/mK, with an important superimposition zone around 2.0 W/mK. The intermediate samples ( $55\% < \text{SiO}_2 < 63\%$ ) show values of thermal conductivity between the two ranges cited above (1.7 to 2.7 W/mK). The data suggest that the relationship between thermal conductivity and chemical parameters is very weak and it is not possible to separate the different lithotypes by thermal conductivity. On the other hand, it seems to exist a stronger relationship between thermal conductivity and quantity of vitreous material present in the samples.

Através do emprego da sonda tipo agulha para espaço semi-infinito foi determinada a condutividade térmica dos diferentes litotipos vulcânicos da Bacia do Paraná e efetuada sua correlação com os parâmetros químicos, físicos e petrográficos que caracterizam as amostras. As rochas básicas ( $\text{SiO}_2 < 55\%$ ) apresentam valores de condutividade térmica no intervalo de 1,9 a 2,5 W/mK, enquanto que as ácidas ( $\text{SiO}_2 > 63\%$ ) apresentam um campo de variação de 1,6 a 3,0 W/mK, com importante zona de sobreposição em torno de 2,0 W/mK. As rochas intermediárias ( $55\% < \text{SiO}_2 < 63\%$ ) apresentam valores de condutividade intermediários entre os dois intervalos acima citados (1,7 a 2,7 W/mK). Os valores encontrados sugerem que a relação entre a condutividade térmica e os parâmetros químicos é pouco acentuada, indicando que não é possível separar os diferentes litotipos. Por outro lado, parece existir uma correlação mais nítida com os parâmetros petrográficos, como por exemplo, o teor de material vítreo.

### INTRODUÇÃO

O principal objetivo do presente trabalho foi verificar a variação da condutividade térmica ( $k$ ) com o quimismo de rochas vulcânicas, na tentativa de separar litotipos diferentes através dos valores de condutividade. Estudou-se, também, a relação entre condutividade térmica e alguns parâmetros petrográficos, especialmente a quantidade de material vítreo.

Para tanto, foram efetuadas medidas de condutividade térmica em 78 amostras de rochas vulcânicas pertencentes à Formação Serra Geral da Bacia do Paraná, das quais 37 são de rochas básicas ( $\text{SiO}_2 < 55\%$ ), 11 são intermediárias ( $55\% < \text{SiO}_2 < 63\%$ ) e 30 são de rochas ácidas ( $\text{SiO}_2 > 63\%$ ).

A técnica empregada para a determinação da condutividade foi a da sonda tipo agulha em espaço semi-infinito. Nesta técnica uma sonda da Fenwall Electronics com um elemento aquecedor e um termoe-

lemento é apoiada sobre uma placa de material isolante à temperatura ambiente. Sobre este é colocada a amostra com uma face plana polida (Marangoni & Del Rey, 1986).

### AMOSTRAS ESTUDADAS

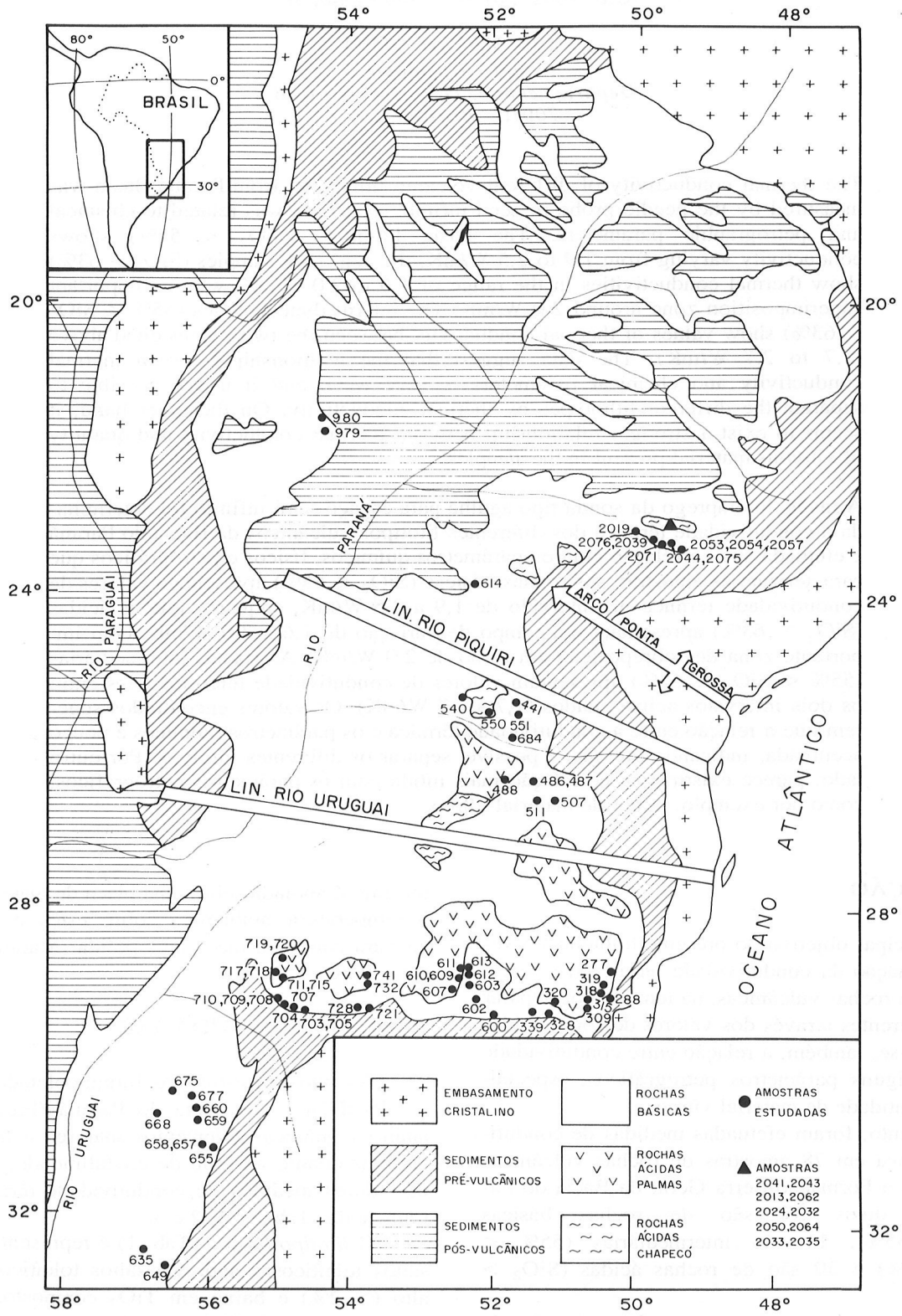
As amostras estudadas foram coletadas em diversas localidades da Bacia do Paraná (Fig. 1) e, suas análises químicas (elementos maiores e traços), suas texturas quanto ao grau de cristalinidade, assim como os valores medidos de condutividade térmica encontram-se nas Tabelas 1, 2 e 3.

O *litotipo básico* (Tab. 1) é representado por basaltos toleíticos e andesi-basaltos toleíticos dos tipos alto ( $> 2\%$ ) e baixo em  $\text{TiO}_2$  compostos essencialmente por plagioclásios, augita, pigeonita e opacos (titano-magnetita). Apresentam texturas que variam de holocrystalina (0-10% de material vítreo) a holovítreia ( $> 90\%$  de material vítreo), porfírtica ( $> 10\%$  de fe-

nocrstral) a afírica-subafírica (< 1% de fenocristais) e apresentam granulação fina (Bellieni et al., 1984).

O litotipo intermediário (Tab. 2) é representado por andesitos toleíticos compostos por plagioclásios,

augita, pigeonita, opacos (titano-magnetita) e apatita. As texturas variam de holovítreas a hipocristalinas (10-40% de material vítreo), porfirítica a afírica e apresentam granulação fina.



**Figura 1** – Mapa geológico simplificado da Bacia do Paraná e a localização das amostras.

**Tabela 1 – Análise química (elementos maiores (% em peso) e traços (ppm)), textura (Text) quanto a grau de cristalinidade, condutividade térmica (k em W/mK) para as rochas do litotípico básico. Onde num = número da amostra, ek = erro da condutividade térmica, holv = holovítreo, holc = holocristalina e hpc = hipocratina.**

| Num. | Cond. Ter. | k   | ek    | Elementos Maiores |                  |                                |                                |       |        | Elementos Traços |       |      |                   |                  |                               | Text |     |     |     |    |     |     |    |      |
|------|------------|-----|-------|-------------------|------------------|--------------------------------|--------------------------------|-------|--------|------------------|-------|------|-------------------|------------------|-------------------------------|------|-----|-----|-----|----|-----|-----|----|------|
|      |            |     |       | SiO <sub>2</sub>  | TiO <sub>2</sub> | Al <sub>2</sub> O <sub>3</sub> | Fe <sub>2</sub> O <sub>3</sub> | FeO   | Fe Tot | MnO              | MgO   | CaO  | Na <sub>2</sub> O | K <sub>2</sub> O | P <sub>2</sub> O <sub>5</sub> | Cr   | Ni  | Ba  | Rb  | Sr | La  | Ce  | Zr | Y    |
| 288  | 2.2        | 0.2 | 51.89 | 1.39              | 14.73            | 3.93                           | 8.16                           | 11.70 | 0.18   | 4.06             | 9.29  | 2.56 | 0.76              | 0.20             | 59                            | 46   | 370 | 22  | 220 | 22 | 54  | 148 | 30 | holv |
| 309  | 2.3        | 0.3 | 44.60 | 0.95              | 15.64            | 7.68                           | 2.18                           | 9.09  | 0.13   | 9.48             | 10.88 | 1.40 | 0.70              | 0.17             | 569                           | 209  | 265 | 14  | 132 | 7  | 31  | 119 | 17 | holc |
| 328  | 2.0        | 0.2 | 50.89 | 1.21              | 15.12            | 3.78                           | 7.73                           | 11.13 | 0.17   | 5.61             | 9.54  | 2.38 | 1.21              | 0.21             | 62                            | 65   | 401 | 29  | 242 | 28 | 61  | 157 | 30 | hipv |
| 339  | 1.9        | 0.2 | 49.91 | 1.04              | 15.11            | 4.43                           | 6.09                           | 10.08 | 0.16   | 7.84             | 10.56 | 1.81 | 0.87              | 0.19             | 433                           | 174  | 277 | 27  | 225 | 10 | 42  | 112 | 21 | holc |
| 507  | 2.0        | 0.3 | 53.11 | 1.40              | 13.78            | 6.83                           | 5.36                           | 11.51 | 0.14   | 4.39             | 8.85  | 2.65 | 1.33              | 0.19             | 36                            | 51   | 344 | 38  | 204 | 20 | 42  | 139 | 29 | hipv |
| 511  | 2.2        | 0.3 | 48.85 | 1.43              | 15.23            | 5.36                           | 7.74                           | 12.56 | 0.22   | 4.91             | 10.49 | 2.84 | 0.64              | 0.18             | 47                            | 52   | 217 | 19  | 185 | 12 | 33  | 112 | 31 | holv |
| 540  | 2.3        | 0.3 | 48.69 | 3.30              | 12.27            | 5.80                           | 8.76                           | 13.98 | 0.21   | 4.04             | 8.39  | 2.63 | 1.58              | 0.73             | 39                            | 22   | 642 | 35  | 404 | 43 | 92  | 276 | 42 | holv |
| 551  | 2.0        | 0.2 | 50.54 | 1.37              | 15.08            | 3.98                           | 8.35                           | 11.93 | 0.21   | 5.17             | 9.84  | 2.51 | 0.75              | 0.17             | 151                           | 82   | 211 | 15  | 152 | 13 | 37  | 110 | 32 | hipv |
| 600  | 2.2        | 0.2 | 50.40 | 1.10              | 16.27            | 4.62                           | 5.00                           | 9.16  | 0.18   | 5.94             | 10.10 | 2.31 | 1.13              | 0.29             | 111                           | 81   | 439 | 26  | 332 | 28 | 66  | 141 | 20 | holc |
| 602  | 2.1        | 0.2 | 51.09 | 1.04              | 15.94            | 3.88                           | 5.68                           | 9.17  | 0.16   | 6.07             | 9.90  | 2.20 | 1.16              | 0.18             | 75                            | 128  | 399 | 35  | 232 | 20 | 53  | 135 | 21 | holc |
| 603  | 2.1        | 0.2 | 52.08 | 1.13              | 15.35            | 4.41                           | 5.44                           | 9.41  | 0.18   | 5.57             | 9.10  | 2.49 | 1.51              | 0.20             | 97                            | 106  | 455 | 50  | 260 | 17 | 55  | 147 | 26 | hipv |
| 612  | 2.5        | 0.3 | 53.76 | 1.83              | 13.19            | 7.50                           | 6.08                           | 12.83 | 0.22   | 2.48             | 7.47  | 2.67 | 1.30              | 0.30             | 17                            | 25   | 393 | 81  | 212 | 28 | 63  | 264 | 42 | holv |
| 613  | 2.4        | 0.3 | 52.47 | 1.94              | 13.21            | 7.42                           | 7.20                           | 13.88 | 0.23   | 2.69             | 7.63  | 2.86 | 1.41              | 0.26             | 27                            | 30   | 479 | 94  | 174 | 26 | 50  | 174 | 41 | holv |
| 635  | 2.1        | 0.2 | 52.98 | 1.47              | 15.05            | 5.14                           | 6.39                           | 11.02 | 0.17   | 3.94             | 8.81  | 2.38 | 1.60              | 0.18             | 45                            | 56   | 573 | 50  | 182 | 26 | 61  | 188 | 36 | holv |
| 649  | 1.9        | 0.2 | 50.26 | 1.22              | 16.76            | 4.42                           | 6.65                           | 10.63 | 0.18   | 5.11             | 10.70 | 2.09 | 0.89              | 0.16             | 170                           | 107  | 343 | 21  | 208 | 16 | 35  | 117 | 24 | hipc |
| 655  | 1.9        | 0.2 | 52.96 | 1.01              | 14.76            | 4.61                           | 5.56                           | 9.74  | 0.16   | 5.84             | 8.91  | 2.10 | 1.44              | 0.17             | 69                            | 74   | 317 | 57  | 199 | 28 | 44  | 139 | 23 | hipc |
| 660  | 2.0        | 0.2 | 50.91 | 0.91              | 15.39            | 3.91                           | 6.41                           | 9.93  | 0.17   | 6.45             | 10.89 | 2.16 | 0.70              | 0.13             | 99                            | 73   | 195 | 26  | 196 | 17 | 40  | 78  | 15 | hipv |
| 677  | 2.2        | 0.2 | 50.67 | 1.05              | 16.42            | 4.69                           | 6.06                           | 10.28 | 0.17   | 5.13             | 10.11 | 2.16 | 1.12              | 0.18             | 78                            | 102  | 375 | 35  | 263 | 15 | 52  | 125 | 21 | hipv |
| 684  | 2.0        | 0.2 | 53.31 | 1.45              | 14.22            | 3.49                           | 8.40                           | 11.54 | 0.19   | 4.07             | 7.62  | 3.23 | 1.65              | 0.22             | 27                            | 40   | 356 | 58  | 204 | 18 | 41  | 156 | 33 | hipv |
| 703  | 2.4        | 0.3 | 52.67 | 1.25              | 14.21            | 4.12                           | 8.26                           | 11.97 | 0.20   | 4.10             | 8.97  | 2.06 | 1.51              | 0.16             | 39                            | 61   | 289 | 74  | 193 | 18 | 35  | 111 | 23 | holv |
| 704  | 2.0        | 0.2 | 54.37 | 1.47              | 13.84            | 3.01                           | 8.16                           | 10.87 | 0.22   | 3.61             | 8.15  | 2.99 | 1.73              | 0.23             | 19                            | 40   | 392 | 72  | 200 | 27 | 54  | 138 | 40 | hipv |
| 707  | 2.0        | 0.2 | 53.70 | 1.38              | 13.97            | 3.37                           | 8.30                           | 11.33 | 0.22   | 4.07             | 8.16  | 2.46 | 1.71              | 0.22             | 23                            | 41   | 364 | 78  | 211 | 25 | 53  | 140 | 29 | hipv |
| 708  | 2.0        | 0.2 | 53.43 | 1.35              | 14.27            | 3.32                           | 7.97                           | 10.96 | 0.20   | 4.22             | 8.25  | 2.59 | 1.66              | 0.22             | 26                            | 39   | 394 | 66  | 211 | 30 | 59  | 143 | 32 | hipv |
| 709  | 1.9        | 0.2 | 54.06 | 1.42              | 13.58            | 5.75                           | 6.23                           | 11.40 | 0.20   | 4.02             | 7.93  | 2.51 | 1.81              | 0.23             | 21                            | 43   | 374 | 72  | 206 | 28 | 52  | 149 | 29 | hipv |
| 710  | 2.1        | 0.2 | 53.67 | 1.45              | 14.17            | 3.89                           | 7.70                           | 11.20 | 0.22   | 4.07             | 8.11  | 2.54 | 1.71              | 0.22             | 32                            | 42   | 370 | 75  | 215 | 28 | 65  | 147 | 26 | holv |
| 728  | 1.9        | 0.2 | 53.53 | 1.77              | 12.65            | 8.57                           | 5.17                           | 12.88 | 0.20   | 2.91             | 6.95  | 2.52 | 2.15              | 0.33             | 19                            | 29   | 453 | 101 | 183 | 28 | 67  | 189 | 39 | holc |
| 979  | 2.0        | 0.3 | 50.53 | 1.99              | 13.03            | 5.52                           | 8.32                           | 13.29 | 0.19   | 5.42             | 9.17  | 2.37 | 0.88              | 0.28             | 104                           | 74   | 391 | 20  | 212 | 23 | 49  | 161 | 39 | hipc |
| 980  | 1.9        | 0.3 | 49.12 | 1.54              | 15.22            | 3.25                           | 8.69                           | 11.61 | 0.19   | 5.49             | 10.42 | 2.45 | 0.57              | 0.20             | 114                           | 93   | 272 | 8   | 273 | 18 | 48  | 110 | 25 | holc |
| 2019 | 2.0        | 0.2 | 50.28 | 2.77              | 14.33            | 3.52                           | 8.87                           | 12.04 | 0.20   | 3.54             | 8.26  | 2.90 | 1.65              | 0.82             | 20                            | 30   | 590 | 33  | 475 | 36 | 104 | 268 | 35 | hipv |
| 2039 | 2.2        | 0.3 | 49.62 | 2.57              | 14.17            | 3.16                           | 10.10                          | 12.94 | 0.20   | 4.03             | 9.20  | 2.33 | 1.26              | 0.38             | 66                            | 52   | 498 | 32  | 403 | 23 | 67  | 169 | 31 | hipc |
| 2044 | 2.4        | 0.3 | 49.99 | 3.38              | 13.95            | 1.54                           | 11.27                          | 12.66 | 0.20   | 3.52             | 8.02  | 3.06 | 1.25              | 0.60             | 23                            | 31   | 545 | 32  | 480 | 42 | 96  | 257 | 35 | hipc |
| 2053 | 1.9        | 0.2 | 49.37 | 2.27              | 13.83            | 3.43                           | 10.51                          | 13.60 | 0.22   | 4.38             | 9.04  | 2.75 | 1.04              | 0.32             | 128                           | 68   | 505 | 23  | 261 | 21 | 62  | 167 | 35 | holc |
| 2054 | 1.9        | 0.2 | 53.40 | 2.99              | 13.72            | 2.90                           | 8.35                           | 10.56 | 0.18   | 3.03             | 7.05  | 3.17 | 2.08              | 0.63             | 29                            | 31   | 709 | 45  | 493 | 52 | 97  | 348 | 44 | hipc |
| 2057 | 2.0        | 0.2 | 49.85 | 2.29              | 13.25            | 3.75                           | 10.54                          | 13.92 | 0.24   | 4.47             | 9.07  | 2.53 | 0.92              | 0.29             | 69                            | 57   | 365 | 22  | 238 | 23 | 62  | 159 | 38 | hipc |
| 2071 | 2.1        | 0.2 | 50.43 | 3.31              | 13.42            | 4.47                           | 8.46                           | 12.48 | 0.19   | 3.77             | 7.93  | 2.71 | 1.55              | 0.57             | 22                            | 31   | 553 | 31  | 460 | 36 | 77  | 263 | 39 | hipv |
| 2075 | 2.2        | 0.2 | 53.16 | 2.78              | 14.60            | 1.50                           | 9.03                           | 10.38 | 0.19   | 2.99             | 7.50  | 3.41 | 1.87              | 0.57             | 40                            | 38   | 755 | 33  | 470 | 49 | 94  | 297 | 39 | hipc |
| 2076 | 2.3        | 0.3 | 51.43 | 2.95              | 14.09            | 1.63                           | 10.82                          | 12.29 | 0.22   | 3.02             | 7.72  | 3.03 | 1.41              | 0.73             | 20                            | 29   | 704 | 35  | 489 | 44 | 78  | 273 | 42 | holv |

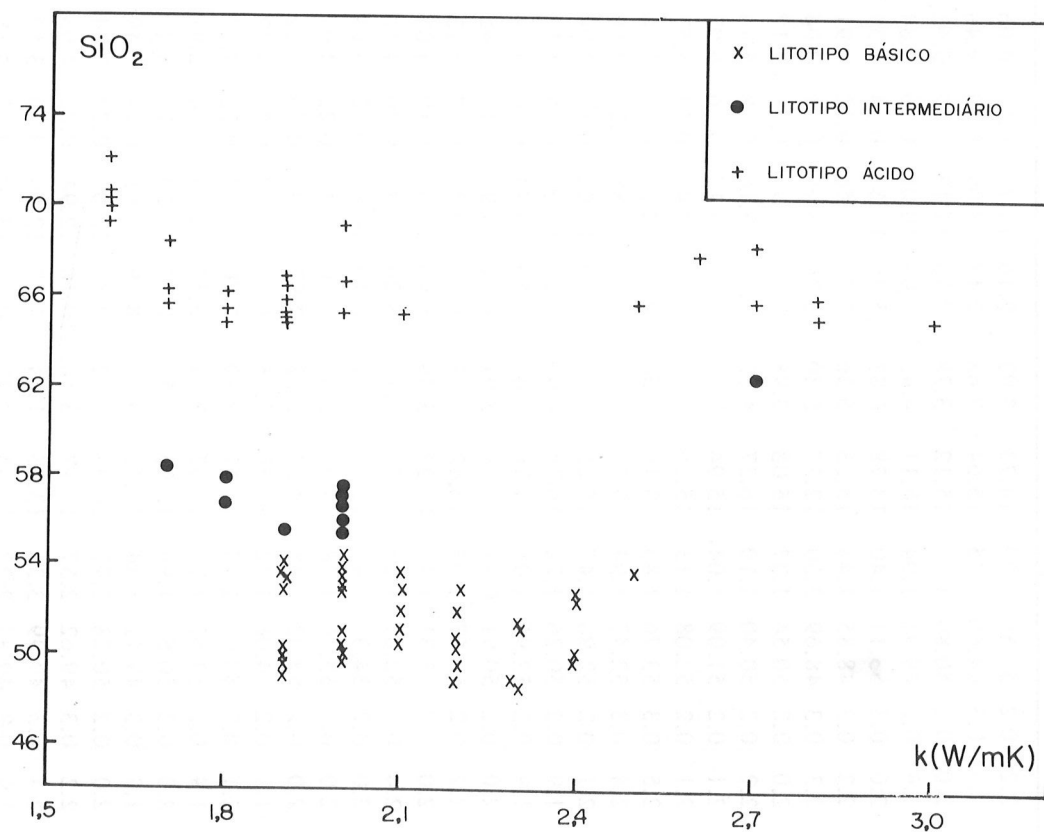
**Tabela 2** – Análise química (elementos maiores (% em peso) e traços (ppm)), textura (Text) quanto a grau de cristalinidade, condutividade térmica ( $k$  em W/mK) para as rochas do litotipo intermediário. Onde num = número da amostra,  $ek$  = erro da condutividade térmica, holv = holovítreo, hipv = hipovítreo, holc = holocrystalina e hipc = hipocrystalina.

| Num. | $k$ | $ek$ | Elementos Maiores |                |                         |                         |              |                 |              |              |              |                       |                      |                        | Elementos Traços |             |             |             |             |             |             |             | Text       |      |
|------|-----|------|-------------------|----------------|-------------------------|-------------------------|--------------|-----------------|--------------|--------------|--------------|-----------------------|----------------------|------------------------|------------------|-------------|-------------|-------------|-------------|-------------|-------------|-------------|------------|------|
|      |     |      | $\text{SiO}_2$    | $\text{TiO}_2$ | $\text{Al}_2\text{O}_3$ | $\text{Fe}_2\text{O}_3$ | $\text{FeO}$ | $\text{Fe Tot}$ | $\text{MnO}$ | $\text{MgO}$ | $\text{CaO}$ | $\text{Na}_2\text{O}$ | $\text{K}_2\text{O}$ | $\text{P}_2\text{O}_5$ | $\text{Cr}$      | $\text{Ni}$ | $\text{Ba}$ | $\text{Rb}$ | $\text{Sr}$ | $\text{La}$ | $\text{Ce}$ | $\text{Zr}$ | $\text{Y}$ |      |
| 441  | 2.0 | .0.2 | 55.41             | 1.56           | 13.68                   | 5.57                    | 7.40         | 12.41           | 0.17         | 2.82         | 6.82         | 3.17                  | 1.68                 | 0.31                   | 34               | 26          | 386         | 78          | 154         | 31          | 63          | 173         | 37         | hipc |
| 486  | 1.9 | 0.2  | 55.65             | 1.48           | 13.77                   | 3.93                    | 7.96         | 11.50           | 0.19         | 3.14         | 6.78         | 2.87                  | 2.18                 | 0.21                   | 31               | 32          | 397         | 88          | 179         | 29          | 67          | 166         | 36         | hipv |
| 487  | 2.0 | 0.2  | 57.04             | 1.37           | 12.94                   | 4.64                    | 6.52         | 10.70           | 0.17         | 3.45         | 7.76         | 2.48                  | 1.30                 | 0.20                   | 31               | 37          | 367         | 57          | 253         | 23          | 55          | 141         | 31         | hipv |
| 614  | 2.7 | 0.3  | 62.39             | 1.31           | 12.66                   | 3.44                    | 4.94         | 8.04            | 0.16         | 1.20         | 4.25         | 3.09                  | 2.40                 | 0.32                   | 6                | 13          | 636         | 168         | 166         | 53          | 117         | 299         | 57         | holv |
| 656  | 1.7 | 0.2  | 58.40             | 1.76           | 12.54                   | 6.85                    | 5.49         | 11.65           | 0.16         | 1.68         | 5.45         | 2.77                  | 2.41                 | 0.22                   | 19               | 13          | 549         | 106         | 188         | 44          | 82          | 214         | 51         | hipv |
| 657  | 1.8 | 0.2  | 56.80             | 1.95           | 12.64                   | 7.98                    | 5.53         | 12.71           | 0.19         | 2.09         | 6.09         | 2.65                  | 2.30                 | 0.21                   | 23               | 16          | 546         | 103         | 202         | 40          | 73          | 230         | 44         | hipv |
| 659  | 2.0 | 0.2  | 55.99             | 1.53           | 14.08                   | 3.68                    | 7.96         | 11.27           | 0.19         | 2.64         | 7.02         | 2.79                  | 2.04                 | 0.25                   | 21               | 28          | 426         | 87          | 189         | 25          | 63          | 176         | 39         | holv |
| 668  | 1.8 | 0.2  | 57.98             | 1.74           | 12.72                   | 4.35                    | 7.92         | 11.83           | 0.17         | 1.99         | 5.80         | 2.47                  | 2.51                 | 0.25                   | 18               | 15          | 560         | 110         | 183         | 32          | 80          | 212         | 43         | hipv |
| 675  | 2.0 | 0.2  | 55.96             | 1.74           | 12.86                   | 5.89                    | 6.67         | 11.97           | 0.17         | 2.34         | 6.35         | 2.42                  | 2.64                 | 0.23                   | 14               | 16          | 537         | 105         | 207         | 39          | 95          | 226         | 48         | hipv |
| 705  | 2.0 | 0.2  | 56.60             | 1.65           | 13.19                   | 6.76                    | 5.41         | 11.49           | 0.17         | 2.34         | 6.10         | 2.43                  | 2.44                 | 0.27                   | 17               | 24          | 494         | 101         | 170         | 35          | 86          | 197         | 43         | hipc |
| 721  | 2.0 | 0.2  | 57.29             | 1.69           | 12.92                   | 7.51                    | 4.91         | 11.67           | 0.16         | 2.22         | 5.55         | 2.34                  | 2.62                 | 0.26                   | 24               | 20          | 608         | 109         | 182         | 42          | 84          | 217         | 38         | hipc |

O litotipo ácido (Tab. 3) é representado por riodecitos e riolitos dos tipos Palmas e Chapecó, que são compostos por: plagioclásios, augita, pigeonita, opacos (titano-magnetita), quartzo, apatita e pouco feldspato alcalino. As texturas variam de holocrystalina a holovítreo, fracamente porfirítica a afírica (tipo Palmas) e de fortemente porfirítica a afírica (tipo Chapecó) podendo ocorrer a textura gráfica (intercrescimento de feldspato e quartzo) em ambos os tipos (Bellieni et al., 1986).

## RESULTADOS

Com a finalidade de verificar a correlação entre a condutividade térmica e o quimismo das rochas estudadas efetuou-se diagramas de variação dos elementos maiores e traços, dos minerais normativos em função da condutividade  $k$ , assim como, foram calculados fatores de correlação para todos os elementos. Desse modo, obteve-se correlações fortes (> 70%) entre  $k$  e  $\text{Fe}_2\text{O}_3$ ,  $\text{FeO}$  e  $\text{K}_2\text{O}$  para o litotipo ácido e  $(\text{FeO})_t$  para



**Figura 2** –  $\text{SiO}_2$  (% em peso) x  $k$  (W/mK) para as amostras dos litotipos estudados.

**Tabela 3 – Análise química** (elementos maiores (% em peso) e traços (ppm)), textura (Text) quanto a grau de cristalinidade, condutividade térmica (k em W/mK) para as rochas do litotipo ácido. Onde num = número da amostra, ek = erro da condutividade térmica, holv = holovítreo, holc = holocrístalina e hipc = hipocrístalina.

| Cond. Ter. | Num. | k   | ek    | SiO <sub>2</sub> | TiO <sub>2</sub> | Al <sub>2</sub> O <sub>3</sub> | Fe <sub>2</sub> O <sub>3</sub> | Elementos Maiores |        |      |      |      |                   | Elementos Traços |                               |    |      |     |     | Text |     |     |     |      |
|------------|------|-----|-------|------------------|------------------|--------------------------------|--------------------------------|-------------------|--------|------|------|------|-------------------|------------------|-------------------------------|----|------|-----|-----|------|-----|-----|-----|------|
|            |      |     |       |                  |                  |                                |                                | FeO               | Fe Tot | MnO  | MgO  | CaO  | Na <sub>2</sub> O | K <sub>2</sub> O | P <sub>2</sub> O <sub>5</sub> | Cr | Ni   | Ba  | Rb  | Sr   | La  | Ce  | Zr  | Y    |
| 277        | 3.0  | 0.3 | 65.07 | 1.02             | 12.72            | 2.07                           | 3.87                           | 5.73              | 0.11   | 1.04 | 3.51 | 3.75 | 2.47              | 0.23             | 7                             | 7  | 617  | 189 | 152 | 48   | 93  | 260 | 41  | holv |
| 315        | 2.0  | 0.2 | 66.83 | 0.91             | 12.72            | 3.81                           | 1.72                           | 5.15              | 0.09   | 2.13 | 2.91 | 3.13 | 3.57              | 0.26             | 12                            | 5  | 321  | 161 | 131 | 47   | 87  | 282 | 40  | holv |
| 318        | 2.5  | 0.3 | 65.72 | 1.02             | 12.52            | 3.01                           | 3.05                           | 5.76              | 0.10   | 1.19 | 3.38 | 2.71 | 3.80              | 0.25             | 11                            | 8  | 572  | 173 | 170 | 47   | 87  | 281 | 45  | holv |
| 319        | 2.8  | 0.3 | 65.09 | 0.98             | 12.20            | 2.74                           | 3.18                           | 5.65              | 0.10   | 1.32 | 3.29 | 3.95 | 2.33              | 0.21             | 4                             | 8  | 635  | 171 | 149 | 49   | 95  | 272 | 44  | holv |
| 320        | 2.7  | 0.3 | 65.92 | 1.02             | 12.23            | 2.93                           | 3.65                           | 6.29              | 0.12   | 0.70 | 3.35 | 3.04 | 2.99              | 0.25             | 8                             | 4  | 653  | 154 | 162 | 53   | 99  | 334 | 51  | holv |
| 488        | 1.9  | 0.2 | 66.88 | 1.11             | 12.98            | 4.95                           | 1.59                           | 6.04              | 0.09   | 0.78 | 2.70 | 3.12 | 3.39              | 0.31             | 12                            | 10 | 654  | 151 | 137 | 52   | 87  | 136 | 115 | holv |
| 550        | 2.1  | 0.2 | 65.25 | 1.43             | 13.04            | 4.87                           | 2.50                           | 6.88              | 0.17   | 1.00 | 2.75 | 2.79 | 4.13              | 0.45             | 6                             | 6  | 996  | 99  | 334 | 89   | 187 | 639 | 71  | holv |
| 607        | 1.7  | 0.2 | 65.61 | 1.00             | 13.20            | 4.78                           | 1.69                           | 5.99              | 0.11   | 1.27 | 3.35 | 2.97 | 3.85              | 0.27             | 7                             | 9  | 639  | 169 | 164 | 54   | 93  | 255 | 43  | hipv |
| 609        | 2.8  | 0.3 | 65.91 | 0.97             | 13.05            | 2.73                           | 2.98                           | 5.44              | 0.11   | 1.02 | 3.46 | 3.40 | 2.51              | 0.26             | 5                             | 9  | 612  | 186 | 171 | 48   | 110 | 256 | 43  | holv |
| 610        | 1.9  | 0.2 | 65.25 | 0.87             | 12.94            | 4.13                           | 1.22                           | 4.94              | 0.09   | 1.30 | 2.66 | 3.25 | 4.03              | 0.25             | 3                             | 9  | 639  | 182 | 120 | 52   | 85  | 234 | 41  | holv |
| 611        | 1.8  | 0.2 | 66.22 | 0.92             | 13.26            | 4.38                           | 1.45                           | 5.39              | 0.12   | 1.33 | 3.10 | 2.58 | 4.05              | 0.28             | 4                             | 6  | 624  | 191 | 146 | 44   | 109 | 261 | 39  | holv |
| 615        | 2.0  | 0.2 | 69.20 | 0.68             | 12.66            | 3.55                           | 1.38                           | 4.57              | 0.09   | 1.19 | 1.79 | 2.72 | 4.70              | 0.19             | 1                             | 4  | 681  | 202 | 96  | 59   | 112 | 328 | 54  | hopv |
| 711        | 2.7  | 0.3 | 68.39 | 0.82             | 12.30            | 2.61                           | 2.82                           | 5.17              | 0.11   | 0.73 | 2.51 | 2.94 | 3.18              | 0.18             | 4                             | 27 | 703  | 271 | 118 | 66   | 117 | 296 | 66  | holv |
| 715        | 1.6  | 0.2 | 72.12 | 0.71             | 11.88            | 4.76                           | 0.47                           | 4.75              | 0.10   | 0.51 | 1.95 | 2.46 | 4.40              | 0.19             | 2                             | 7  | 635  | 200 | 98  | 64   | 115 | 277 | 65  | holv |
| 717        | 1.6  | 0.2 | 70.15 | 0.58             | 12.58            | 3.85                           | 0.57                           | 4.03              | 0.09   | 0.88 | 2.34 | 2.76 | 4.42              | 0.20             | 2                             | 7  | 750  | 197 | 98  | 58   | 113 | 315 | 56  | hipv |
| 718        | 1.6  | 0.2 | 70.42 | 0.56             | 12.78            | 3.83                           | 0.61                           | 4.06              | 0.10   | 0.88 | 1.70 | 2.73 | 4.57              | 0.20             | 7                             | 6  | 763  | 204 | 100 | 54   | 121 | 326 | 86  | hipv |
| 719        | 1.6  | 0.2 | 70.36 | 0.66             | 11.97            | 3.80                           | 1.09                           | 4.51              | 0.08   | 0.94 | 1.97 | 2.64 | 4.34              | 0.19             | 3                             | 5  | 642  | 192 | 97  | 44   | 118 | 311 | 46  | hipv |
| 720        | 1.6  | 0.2 | 69.24 | 0.70             | 12.57            | 4.08                           | 1.13                           | 4.80              | 0.11   | 1.02 | 2.24 | 2.78 | 4.57              | 0.19             | 7                             | 4  | 675  | 199 | 101 | 55   | 117 | 317 | 57  | hipv |
| 732        | 2.6  | 0.3 | 68.02 | 0.80             | 12.49            | 2.74                           | 2.63                           | 5.10              | 0.11   | 0.68 | 2.63 | 2.69 | 3.84              | 0.20             | 10                            | 7  | 696  | 193 | 114 | 66   | 129 | 293 | 76  | holv |
| 741        | 1.7  | 0.2 | 68.42 | 0.65             | 12.68            | 4.25                           | 0.48                           | 4.31              | 0.07   | 1.24 | 2.07 | 2.02 | 5.09              | 0.20             | 1                             | 8  | 705  | 214 | 78  | 49   | 99  | 333 | 51  | hipv |
| 2013       | 1.8  | 0.2 | 65.44 | 0.93             | 13.59            | 5.21                           | 0.70                           | 5.39              | 0.07   | 1.59 | 1.82 | 3.00 | 5.13              | 0.41             | 1                             | 9  | 1152 | 143 | 300 | 125  | 234 | 596 | 111 | holc |
| 2024       | 1.8  | 0.2 | 64.81 | 1.04             | 13.22            | 4.45                           | 1.73                           | 5.74              | 0.10   | 1.60 | 2.79 | 3.30 | 4.29              | 0.38             | 3                             | 8  | 1136 | 132 | 318 | 82   | 168 | 579 | 57  | hipc |
| 2032       | 1.7  | 0.2 | 66.17 | 1.01             | 13.04            | 3.94                           | 2.00                           | 5.55              | 0.11   | 1.33 | 2.70 | 3.57 | 4.29              | 0.37             | 1                             | 6  | 1101 | 132 | 317 | 87   | 166 | 547 | 61  | hipc |
| 2033       | 1.9  | 0.2 | 65.77 | 1.02             | 13.44            | 4.56                           | 1.25                           | 5.35              | 0.12   | 1.20 | 2.55 | 3.66 | 4.35              | 0.37             | 1                             | 6  | 1287 | 139 | 328 | 95   | 178 | 576 | 86  | hipv |
| 2035       | 2.0  | 0.2 | 66.75 | 1.15             | 13.22            | 5.51                           | 0.45                           | 5.41              | 0.09   | 0.66 | 2.23 | 3.35 | 4.46              | 0.35             | 1                             | 9  | 1581 | 155 | 330 | -89  | 179 | 573 | 68  | holv |
| 2041       | 1.9  | 0.3 | 66.38 | 1.09             | 12.76            | 5.83                           | 0.54                           | 5.79              | 0.12   | 1.28 | 1.89 | 3.15 | 4.53              | 0.32             | 1                             | 7  | 1022 | 130 | 316 | 83   | 174 | 568 | 55  | hipc |
| 2043       | 1.9  | 0.2 | 64.89 | 1.22             | 12.62            | 4.90                           | 2.14                           | 6.55              | 0.14   | 1.03 | 2.42 | 3.51 | 4.42              | 0.29             | 1                             | 5  | 1192 | 134 | 300 | 86   | 184 | 569 | 64  | holv |
| 2050       | 1.9  | 0.2 | 66.37 | 1.16             | 12.94            | 4.67                           | 1.76                           | 5.96              | 0.12   | 1.19 | 2.37 | 3.49 | 4.23              | 0.31             | 1                             | 10 | 1056 | 127 | 301 | 81   | 159 | 548 | 57  | holv |
| 2062       | 2.0  | 0.2 | 65.25 | 1.17             | 12.55            | 4.30                           | 2.43                           | 6.30              | 0.13   | 1.32 | 2.56 | 3.37 | 4.16              | 0.31             | 1                             | 6  | 1164 | 125 | 328 | 84   | 166 | 580 | 57  | hipc |
| 2064       | 1.9  | 0.2 | 65.02 | 1.21             | 12.71            | 5.59                           | 1.39                           | 6.42              | 0.11   | 1.22 | 2.42 | 3.34 | 4.33              | 0.32             | 1                             | 6  | 1063 | 127 | 329 | 77   | 168 | 573 | 57  | hipc |

o litotipo intermediário. Com os demais óxidos a correlação mostrou-se fraca (< 50%) sendo que para o litotipo básico não foi encontrado nenhum fator de correlação acima de 30%. Estes dados mostram que não há uma relação direta entre o químismo das rochas estudadas e a condutividade térmica. Dessa maneira, o diagrama  $\text{SiO}_2 \times k$  (Fig. 2) é o que melhor representa os litotipos estudados em função da condutividade térmica. Nota-se nessa figura que, as rochas ácidas apresentam valores de  $k$  predominante no intervalo de 1,6-2,1 W/mK e tendem a possuir valores mais baixos de condutividade térmica que as demais rochas, no entanto, sete amostras apresentam valores mais elevados (> 2,4 W/mK). As rochas intermediárias apresentam valores de  $k$  no intervalo de 1,7-2,0 W/mK, enquanto que o valor de  $k$  para as rochas básicas encontra-se no intervalo de 1,9-2,5 W/mK. Verifica-se, ainda (Fig. 2), que há uma forte sobreposição para as rochas dos três litotipos em torno de 2,0 W/mK.

O histograma condutividade térmica e o número de amostras estudadas (Fig. 3) mostra que, de modo geral, os valores de  $k$  para a maioria das amostras medidas (42 amostras) concentram-se no intervalo de 1,9-2,1 W/mK. As amostras do litotipo básico predominam no intervalo citado, no entanto 13 dessas amostras encontram-se fora do mesmo. Os valores de  $k$  para as amostras do litotipo ácido distribuem-se, praticamente, de maneira uniforme nos intervalos de 1,5-1,8 W/mK e 1,9-2,1 W/mK, entretanto, quatro amostras apresentam valores no intervalo de 2,5-2,7 W/mK e 3 amostras encontram-se no intervalo de 2,8-3,0 W/mK. O litotipo intermediário, presente em menor número (11 amostras), apresenta uma maior concentração dos valores de  $k$  no intervalo de 1,9-2,1 W/mK, sendo que três amostras encontram-se no intervalo 1,5-1,8 W/mK.

Observa-se que as amostras que apresentam a condutividade térmica superior a 2,4 W/mK (Figs. 2 e 3) possuem textura holovítreia (> 90% de material vítreo, Tabs. 1, 2 e 3). Este fato sugere que a condutividade térmica é dependente do grau de cristalinidade

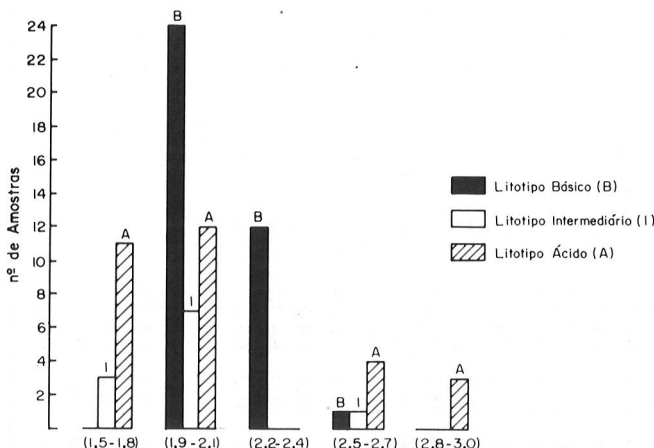


Figura 3 – Histograma condutividade térmica (W/mK) e o número de amostras estudadas.

das rochas vulcânicas.

Das 78 amostras estudadas nove apresentam textura holocristalina (0-10% de material vítreo), 23 são hipocristalinas (10-40% de material vítreo), 22 são hipovítreas (40-90% de material vítreo) e 23 são holovítreas (> 90% de material vítreo). A Fig. 4 representa o histograma da condutividade térmica e o número de amostras que apresentam semelhantes quantidades de material vítreo. Nota-se nessa figura que, em geral, o valor  $k$  para a maioria das rochas com texturas diferentes concentra-se no intervalo de 1,9-2,1 W/mK, como verificado na Fig. 3.

As rochas com textura holovítreia tendem a apresentar valores mais elevados de condutividade (Fig. 4), enquanto as holocristalinas apresentam valores mais baixos. As rochas com texturas hipocristalina e hipovítreas concentram-se no intervalo de 1,9-2,1 W/mK de condutividade térmica. Em relação a essas duas texturas, os dados mostram que as rochas hipovítreas tendem a apresentar condutividade térmica mais elevada (Fig. 4).

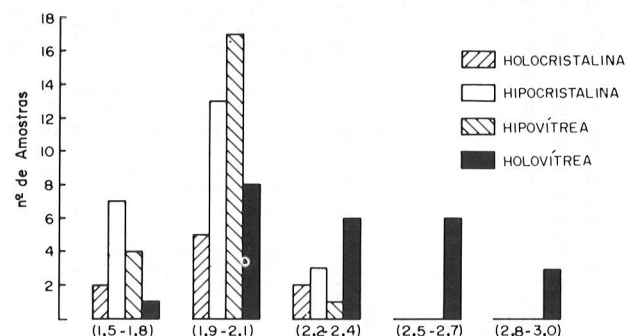
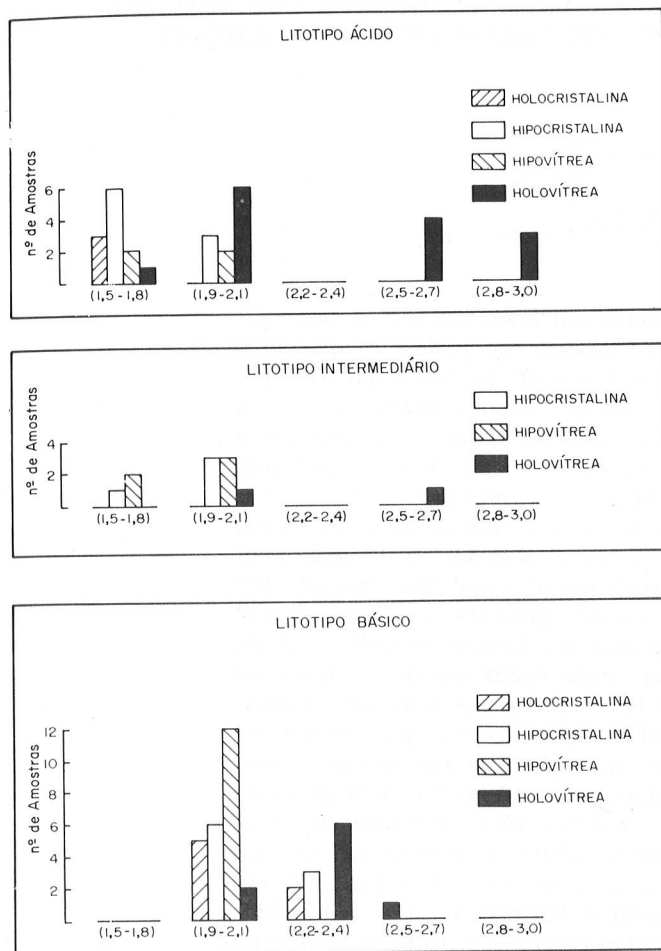


Figura 4 – Histograma condutividade térmica (W/mK) e a textura (quanto ao grau de cristalinidade) das amostras estudadas.

De modo geral, os dados mostram que a quantidade de material vítreo presente nas amostras estudadas, parece ser um fator importante na variação da condutividade térmica. Este fato pode ser observado na Fig. 5 que representa o histograma de  $k$  e a textura (quanto ao grau de cristalinidade) para as amostras de cada litotipo estudado. No entanto, o número de amostras de cada litotipo com diferentes texturas é ainda insuficiente para definir uma relação precisa da condutividade térmica considerando-se um mesmo litotipo, embora mostre que as amostras com textura holovítreia apresentam uma condutividade térmica mais elevada.

## CONCLUSÕES

Os dados obtidos permitiram concluir que:  
– não é possível separar as amostras dos litotipos bá-



**Figura 5** – Histograma condutividade térmica (W/mK) e a textura (quanto ao grau de cristalinidade) das amostras de cada litotipo estudado.

- sico, intermediário e ácido através da condutividade térmica;
- as rochas do litotipo ácido tendem a apresentar um valor mais baixo de condutividade térmica que as rochas dos demais litotipos;
  - a maioria das amostras apresentam um valor de condutividade térmica no intervalo de 1,9-2,1 W/mK

(Fig. 3), com uma forte sobreposição em torno de 2,0 W/mK para os três litotipos; – a condutividade térmica tende a aumentar com o aumento da quantidade de material vítreo (Figs. 4 e 5).

Dessa maneira, a condutividade térmica média para as rochas vulcânicas da Bacia do Paraná sugerida, no presente trabalho, corresponde a um valor de  $2,0 \pm 0,3$  W/mK.

## AGRADECIMENTOS

As autoras agradecem à FAPESP, ao CNPq e à FINEP pelas bolsas de estudo concedidas e pelo apoio financeiro para a coleta de amostras, ao Prof.Dr. Piero Comin-Chiaromonti pelas análises químicas, ao Prof.Dr. Enzo M. Piccirillo pelo incentivo e discussões dos dados e finalmente ao Chefe do Laboratório de Fluxo Térmico do Instituto Astronômico e Geofísico da Universidade de São Paulo (IAG/USP) Prof.Dr. Fernando Brenha Ribeiro pelo uso do laboratório, onde foram realizadas as medidas de condutividade térmica.

## REFERÊNCIAS

- BELLIENI, G., COMIN-CHIARAMONTI, P., MARQUES, L.S., MELFI, A.J., PICCIRILLO, E.M., NARDY, A.J.R. & ROISENBERG, A. – 1984 – High-and low-TiO<sub>2</sub> flood basalts from the Paraná plateau (Brazil): petrology and geochemical aspects bearing on their mantle origin. Neues Jah. Miner. Abh., **130**: 273-36.
- BELLIENI, G., COMIN-CHIARAMONTI, P., MARQUES, L.S., MELFI, A.J., NARDY, A.J.R., PAPATRECHAS, C., PICCIRILLO, E.M., ROISENBERG, A. & STOLFA, D. – 1986 – Petrogenetic aspects of acid and basaltic lavas from the Paraná plateau (Brazil): geological, mineralogical and petrochemical relationships. J. Petrology, **27**: 915-944.
- MARANGONI, Y.R. & DEL REY, A.C. – 1986 – Condutividade térmica das amostras do Complexo Amparo. Rev. Bras. Geof., **4**: 61-71.

Versão original recebida em Mar./88

Versão final, em Ago./88